

УДК 519.6

АЛГОРИТМЫ МЕЛКОЗЕРНИСТОГО РАСПАРАЛЛЕЛИВАНИЯ В МЕТОДИКЕ ТИМ-2Д

А. А. Воропинов¹

Методика ТИМ-2Д предназначена для решения задач механики сплошной среды на нерегулярных многоугольных сетках произвольной структуры. Для методики ТИМ-2Д используется трехуровневое распараллеливание. На верхнем уровне осуществляется распараллеливание счета по математическим областям в модели распределенной памяти с использованием интерфейса передачи сообщений MPI. На втором уровне распараллеливается счет внутри счетной области по параобластям (счетная область разбивается на фрагменты с наложением в один слой ячеек) также с использованием MPI. На третьем (нижнем) уровне осуществляется распараллеливание итераций счетных циклов в модели общей памяти с использованием интерфейса OpenMP. Эти подходы можно использовать как вместе в различных сочетаниях, так и раздельно при расчете одной задачи. Рассмотрены алгоритмы мелкозернистого распараллеливания (второй уровень) и взаимодействие алгоритмов мелкозернистого распараллеливания с распараллеливанием по областям и распараллеливанием средствами OpenMP. Приводятся замеры эффективности распараллеливания для ряда тестовых расчетов. Статья подготовлена по материалам доклада автора на международной научной конференции “Параллельные вычислительные технологии” (ПавТ-2009; <http://agora.guru.ru/pavt2009>).

Ключевые слова: методика ТИМ, распараллеливание в модели распределенной памяти, интерфейс MPI, нерегулярные сетки.

1. Введение. Методика ТИМ-2Д [1] предназначена для решения задач механики сплошной среды на нерегулярных многоугольных лагранжевых сетках произвольной структуры. Для методики ТИМ-2Д используется трехуровневое распараллеливание [2]. На верхнем уровне осуществляется распараллеливание счета по математическим областям в модели распределенной памяти с использованием интерфейса передачи сообщений MPI. На втором уровне распараллеливается счет внутри математической области по параобластям (математическая область разбивается на фрагменты с наложением в один слой ячеек), также с использованием MPI. На третьем (нижнем) уровне осуществляется распараллеливание итераций счетных циклов в модели общей памяти с использованием интерфейса OpenMP. Эти подходы можно использовать как вместе в различных сочетаниях, так и раздельно при расчете одной задачи. Ранее для методики ТИМ-2Д было реализовано распараллеливание в модели общей памяти [3] и распараллеливание по областям [4].

В методике ТИМ-2Д деление на математические области производится исходя из начальных данных и геометрии, при этом не преследуется цель достижения высокой эффективности распараллеливания. В разных областях может использоваться существенно различное количество точек (иногда отличие может достигать нескольких порядков). Это приводит к тому, что, во-первых, на реальных задачах эффективность оказывается не слишком высокой, а во-вторых, использовать распараллеливание по областям удается для небольшого количества процессоров. Дополнительное использование распараллеливания в модели общей памяти позволяет увеличить количество задействованных процессоров почти на порядок (тем не менее, в реальных расчетах удается использовать не более нескольких десятков процессоров), но не решает проблему эффективности распараллеливания. Все это показывает, что такого распараллеливания оказывается недостаточно, поэтому необходима реализация мелкозернистого распараллеливания.

В настоящей статье рассматриваются алгоритмы мелкозернистого распараллеливания (второй уровень) и взаимодействие алгоритмов мелкозернистого распараллеливания с распараллеливанием по областям и OpenMP-распараллеливанием.

2. Декомпозиция данных для мелкозернистого распараллеливания. Принципы декомпозиции для мелкозернистого распараллеливания следующие:

¹ Всероссийский научно-исследовательский институт экспериментальной физики, Проспект Мира, 37, 607190, г. Саров, Нижегородская обл.; науч. сотр., e-mail: voron@md08.vniief.ru

© Научно-исследовательский вычислительный центр МГУ им. М. В. Ломоносова

- декомпозиция осуществляется по ячейкам (ячейка — основной счетный элемент в ТИМ-2D);
- каждая математическая область разбивается на компакты независимо от других;
- все ячейки области распределяются по компактам, при этом каждая ячейка принадлежит одному и только одному компакту;
- вдоль границ выделяется отдельный компакт, содержащий один или несколько слоев ячеек (это ограничение для корректного расчета контактных границ).

Непосредственно для декомпозиции используется библиотека ParMeTiS [5]. Декомпозиция выполняется следующим образом:

- на основе нерегулярной сетки строится граф, отображающий ее структуру, при этом ячейкам сетки соответствуют вершины графа, а соседству между ячейками — ребра графа;
- приграничные вершины графа выделяются в отдельный компакт, состоящий из нескольких слоев ячеек (этот компакт образует замкнутое кольцо и является первым в данной области);
- для графа (за исключением приграничных вершин, выделенных в отдельный компакт) вызывается одна из программ библиотеки ParMeTiS, которые формируют декомпозицию.

3. Формирование параобластей. На основе каждого компакта строится параобласть, при этом между параобластями формируется наложение в один слой ячеек. В каждой параобласти выделяются следующие элементы.

1. Параграфнические узлы и ребра. Ребро называется параграфническим, если оно разделяет две ячейки, относящиеся к разным компактам; узел называется параграфническим, если в нем сходится хотя бы одно параграфническое ребро.

2. Приграничные элементы сетки. Ячейка называется приграничной, если она относится к компакту, соответствующему рассматриваемой параобласти, и хотя бы одно из ее ребер является параграфническим. Ребра и узлы, не являющиеся параграфническими, называются приграничными, если хотя бы одна из формирующих их ячеек является приграничной.

3. Присоединенные элементы сетки. Ячейка называется присоединенной, если она не относится к компакту, соответствующему рассматриваемой параобласти, но входит в нее из-за наложения между параобластями. Ребра и узлы, не являющиеся параграфническими, называются присоединенными, если все формирующие их ячейки являются присоединенными.

4. Все остальные элементы сетки рассматриваемой параобласти называются внутренними.

В счетных структурах параобласть представляется как математическая область с некоторой дополнительной информацией. В параобласти устанавливается своя сквозная нумерация элементов сетки. Расчет величин производится для параграфнических, приграничных и внутренних элементов сетки. Информация о присоединенных элементах обновляется на каждом счетном шаге с рассчитывающими их процессами.

При формировании параобласти в первую очередь нумеруются параграфнические элементы сетки, затем приграничные, затем внутренние и в последнюю очередь присоединенные. Это позволяет в первую очередь рассчитывать параграфнические и приграничные элементы сетки, чтобы начать выполнение обменов в асинхронном режиме, пока рассчитываются внутренние элементы, а с другой стороны, позволяет достаточно просто исключить из счета присоединенные элементы сетки, расчет которых производится в других параобластях.

Простейший пример разбиения области (рис. 1) на две параобласти представлен на рис. 2.

Набор элементов сетки, одновременно существующих в двух параобластях и формирующих собой область наложения, образуют собой параграницу, вдоль которой производятся обмены между параобластями. Параграница не является непрерывной линией, а представляется набором элементов сетки и может состоять из нескольких фрагментов, например в случае, когда компакт является не односвязным.

4. Алгоритмы мелкозернистого распараллеливания. В режиме мелкозернистого распараллеливания возникает задача обмена информацией об элементах сетки, находящихся в областях наложения, между параобластями для корректного проведения расчетов.

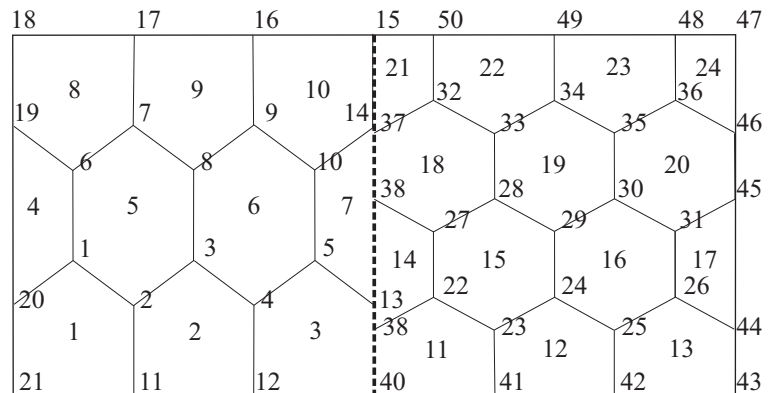


Рис. 1. Математическая область из двух подобластей

На рисунке 1 представлена математическая область, разделенная на две подобласти. Область имеет сложную форму с множеством ячеек и связей. Каждая ячейка имеет свой уникальный номер. Сетка состоит из различных элементов, включая параграфнические, приграничные и внутренние элементы. Показаны различные типы связей между элементами, включая вершины и ребра. Ось координат (x, y) указана в нижнем левом углу.

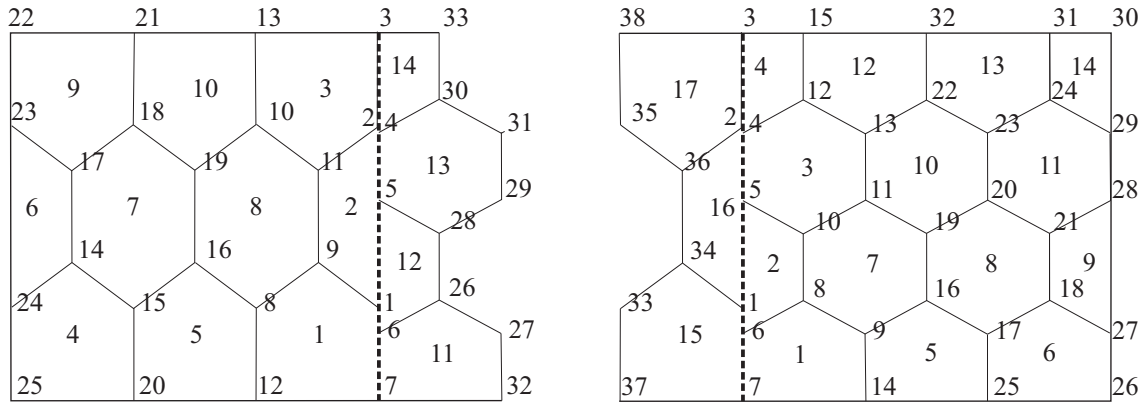


Рис. 2. Вид сетки и нумерация элементов сетки в первой и второй параобласти

В методике ТИМ-2D расчет газодинамических величин разделен на два основных этапа.

1. Расчет узловых величин — скорости и координаты (уравнение движения); при этом при расчете узла используется информация из соседних узлов и окружающих ячеек с n -го момента времени.

2. Расчет ячееких величин — плотность, давление и энергия (уравнение энергии); при этом используется информация о новом положении узлов рассматриваемых ячеек.

В режиме мелкозернистого распараллеливания схема алгоритмов, с учетом обменов, следующая.

1. В начале счетного шага на каждой параллельной границе запускается асинхронный прием данных для присоединенных элементов сетки (с процессов, рассчитывающих соответствующие соседние параобласти).

2. Производится расчет узловых величин, состоящий из следующих этапов:

- рассчитываются величины для всех приграничных и параграницых узлов области;
- запускается асинхронная отправка величин приграничных узлов параобласти; данные отправляются соседним параобластям (по одному обмену для каждой параграницы);
- рассчитываются величины для внутренних узлов;
- завершается асинхронный прием величин для присоединенных узлов.

3. Производится расчет блока ячееких величин:

- рассчитываются величины для всех приграничных ячеек области;
- запускается асинхронная отправка величин приграничных ячеек параобласти; данные отправляются соседним параобластям (по одному обмену для каждой параграницы);
- рассчитываются величины для внутренних ячеек;
- завершается асинхронный прием величин для присоединенных ячеек.

Для непосредственной передачи данных используется предварительная упаковка данных в буферные массивы, а после приема данных — распаковка из буферных массивов.

Необходимо отметить, что в данной схеме не учитываются алгоритмы поддержания счетной сетки, используемые в методике ТИМ-2D [1]. Для их использования в режиме мелкозернистого распараллеливания необходимо провести в дальнейшем доработку как самих алгоритмов, так и указанной схемы распараллеливания.

5. Взаимодействие мелкозернистого распараллеливания с распараллеливанием по областям. Один из вопросов, возникающих при реализации мелкозернистого распараллеливания, состоит в сочетании этих алгоритмов с алгоритмами распараллеливания по областям, реализованными в методике ТИМ-2D ранее [2].

5.1. Согласование нумерации параобластей с математическими областями. Один из важных вопросов — это способ нумерации параобластей и согласование этой нумерации с нумерацией математических областей. Для решения этого вопроса используется следующая схема.

Параобласти в счетных структурах нумеруются в списке математических областей, при этом параобласти получают номера после математических областей. Математическая область, из которой были порождены параобласти, из счета исключается. Параобласти нумеруются в соответствии с возрастанием номеров родительских математических областей.

Рассмотрим нумерацию параобластей на простом примере: в задаче три математических области, из первой области формируются две параобласти, из второй области параобласти не формируются вовсе (для этой области сформирована декомпозиция из одного компакта), а из третьей — формируются три

параобласти. В результате параобласти, сформированные из первой математической области, получат номера 4 и 5, а параобласти из третьей математической области — номера 6, 7 и 8. Общее количество областей в структуре данных устанавливается равным восьми. Отметим, что исходные математические области 1 и 3 сохраняют за собой номера, но из счета исключаются. Математическая область 2 рассчитывается под своим собственным номером — параобласти для нее не формируются.

5.2. Расчет контактных границ. Другим важным вопросом при реализации мелкозернистого распараллеливания является расчет контактных границ между математическими областями [6]. Способ расчета контактных границ определяется типом их учета в алгоритмах декомпозиции. В настоящее время реализован алгоритм расчета с выделением всех приграничных ячеек в отдельный компакт.

При этом подходе вдоль всех границ области в отдельный компакт группируются несколько слоев ячеек. В результате в этой параобласти содержатся все граничные точки данной области и выполнение операций сшивания фрагментов границы не требуется, а также не требуется выполнения дополнительных обменов. Таким образом, для данного компакта можно использовать полностью те же самые алгоритмы расчета контактного взаимодействия и схему обменов, что и для распараллеливания по математическим областям.

Недостатком этого подхода является то, что достаточно сложно сбалансировать нагрузку между сформированной таким образом приграничной параобластью и внутренними параобластями. В случае использования математических областей с различным количеством граничных точек эта проблема становится практически неразрешимой. По этим причинам данный подход может рассматриваться как первый вариант декомпозиции, предназначенный для расчета задач с небольшим количеством областей и параобластей.

6. Взаимодействие мелкозернистого распараллеливания с OpenMP-распараллеливанием. Взаимодействие между мелкозернистым распараллеливанием и OpenMP-распараллеливанием логически организуется достаточно просто, так как в этих режимах используются разные парадигмы. В OpenMP распараллеливаются итерации счетных циклов, такие как циклы по ячейкам или по узлам. Поскольку в параобласти вводится локальная нумерация, то для OpenMP-распараллеливания параобласть идентична математической области и для OpenMP никаких модификаций не требуется. Тем не менее, одно обстоятельство потребовало специальной доработки алгоритмов.

Для мелкозернистого распараллеливания необходимо выполнение обменов приграничными элементами сетки между соседними параобластями, при этом используются асинхронные обмены для того, чтобы наложить вычисления и обмены. Чтобы как можно раньше начать отправку данных о приграничных элементах сетки при формировании параобластей, они нумеруются раньше внутренних. В результате в цикле по ячейкам или узлам они обходятся раньше, и можно начать их отправку соседней параобласти и совместить обмен данных с расчетом внутренних элементов. Вот тут и возникает конфликт с OpenMP. Дело в том, что при распараллеливании итераций счетных циклов нарушается последовательность обработки этих самых итераций, т.е., например, 101 итерация может быть выполнена раньше 100. Нарушение последовательности итераций происходит из-за их распределения между нитями OpenMP. Упорядочить выполнение фрагментов счетного цикла можно при помощи флага ORDERED для директивы !\$OMP DO, однако опыт ее использования показал, что в этом случае значительно снижается эффективность OpenMP-распараллеливания. Ввести некоторую закономерность в последовательность выполнения итераций можно при помощи флага SCHEDULE (также для директивы !\$OMP DO). Однако это, во-первых, полностью проблему не решает, во-вторых, уменьшает степень наложения между расчетом и обменами, а в-третьих, может снижать эффективность OpenMP-распараллеливания.

Выходом из положения стало разделение счетных циклов на пары. Первый цикл выполняется по граничным и приграничным элементам сетки, второй цикл — по внутренним элементам. Оба цикла заключены в одну параллельную область OpenMP. Между циклами выполняются обмены, при этом обмены выполняются внутри параллельной области OpenMP.

7. Исследование эффективности распараллеливания. В качестве характеристик эффективности распараллеливания использовались следующие функции: $S_p = \frac{t_1}{t_p}$ — ускорение счета; $E_p = \frac{t_1}{pt_p} 100\%$ — эффективность распараллеливания, где t_1 — время расчета на одном процессоре используемой параллельной машины (последовательный режим счета) и t_p — время счета на p процессорах.

Для исследования эффективности распараллеливания была использована задача об обжатии цилиндра равномерным давлением.

Начальная геометрия: область представляет собой цилиндр. Размеры области 1×1 . Все границы, кроме верхней, являются жесткими стенками.

Вещество: идеальный газ с показателем адиабаты $\gamma = 3$.

Начальные условия: $\rho_0 = 1 \frac{\text{г}}{\text{см}^3}$, $E_0 = P_0 = 0$, начальная скорость $v(x, y, 0) = w(x, y, 0) = 0$ ($\mathbf{u} = \mathbf{u}(v, w)$).

Границные условия: на боковой поверхности цилиндра задается постоянное по времени давление $P_{\text{гр}} = 5 \text{ ГПа}$.

Математическая постановка задачи: в качестве счетной сетки выбрана четырехугольная счетная сетка из 1 000 000 ячеек.

Декомпозиция выполнялась при помощи библиотеки ParMeTiS. Пример декомпозиции на 100 параллелей приведен на рис. 3.

Замеры времени выполнения в модели распределенной памяти представлены в табл. 1. Из данных, приведенных в таблице, видно, что максимальное ускорение составляет чуть менее 30 раз. Эффективность оказывается не очень высокой, особенно при увеличении количества процессоров, причем расчет на 100 процессорах оказывается даже медленнее, чем на 64. Это обстоятельство объясняется тем, что вдоль границ строится отдельный компакт (параллель) и при большом количестве процессоров эта параллель оказывается в счете самой дорогой. Для улучшения эффективности при использовании большого количества процессоров необходимо реализовывать алгоритмы декомпозиции, допускающие фрагментирование контактных границ.

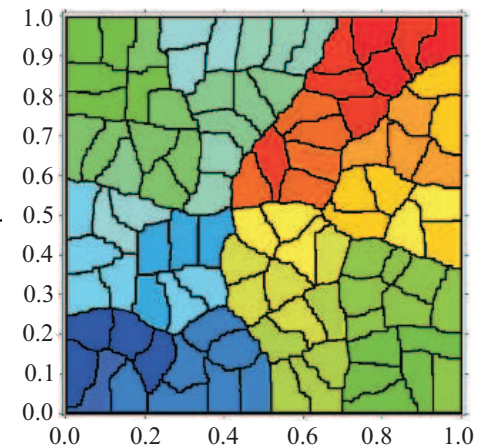


Рис. 3. Декомпозиция на 100 процессоров

Таблица 1

Режим счета в модели распределенной памяти (MPI)

Количество процессоров	1	8	16	32	50	64	100
Общее время счета, с	9573,7	1371,5	746,5	456,36	344,4	325,5	395,0
Ускорение, разы	1,00	6,98	12,83	20,98	27,80	29,42	24,24
Эффективность, %	100	87,26	80,19	65,56	55,6	45,96	24,24

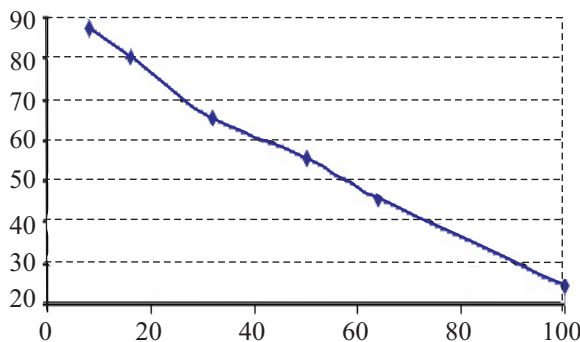


Рис. 4. Зависимость эффективности от количества процессоров в MPI-распараллеливании

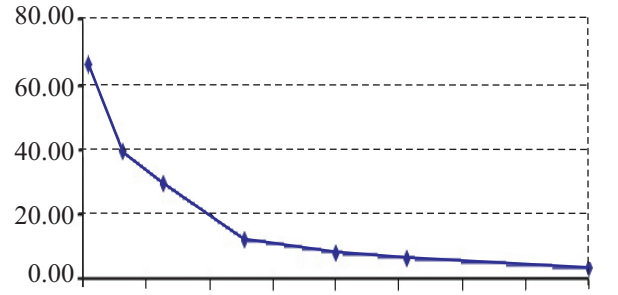


Рис. 5. Зависимость эффективности от количества процессоров в смешанном распараллеливании

На рис. 4 приведена зависимость эффективности от количества процессоров. Из графика видно, что эффективность падает практически линейно при увеличении количества процессоров.

В модели общей памяти был выполнен расчет на восьми процессорах, приведенный в табл. 2 в столбце с заголовком “8”. В этом расчете ускорение составило 5,3 раза, а эффективность распараллеливания в модели общей памяти — около 66%.

Расчеты в смешанной модели памяти проводились на различном количестве процессоров от 64 до 800, при этом в узле в модели общей памяти всегда использовалось восемь нитей OpenMP. Результаты замеров времени проведения этих расчетов приведены в табл. 2.

Как видно из приведенных результатов, максимальное ускорение составляет 37,5 раз на 128 процессорах, когда область разбивается на 16 компактов.

С другой стороны, из табл. 2 видно, что замедление в счете возникает уже на 256 процессорах при

Таблица 2

Режим счета в смешанной модели памяти (MPI + OpenMP)

Кол-во процессоров	1	8	64	128	256	400	512	800
MPI×OpenMP	1 × 1	1 × 8	8 × 8	16 × 8	32 × 8	50 × 8	64 × 8	100 × 8
Время расчета, с	9573,73	1799,5	382,77	255,4	296,64	283,43	294,63	345,12
Ускорение, разы	1	5,32	25,01	37,49	32,27	33,78	32,49	27,74
Эффективность, %	100	66,5	39,08	29,29	12,61	8,44	6,35	3,47

Таблица 3

Режим счета в модели распределенной памяти (MPI)

Кол-во процессоров	64	72	80	88	96	100
Общее время счета, с	325,5	345,81	366,11	378,06	390	395
Ускорение, разы	29,41	27,69	26,15	25,32	24,55	24,24
Эффективность, %	45,96	38,45	32,69	28,78	25,57	24,24

Таблица 4

Режим расчета в смешанной модели памяти (MPI + OpenMP)

Кол-во процессоров	64	72	80	88	96	104	112	120	128
MPI×OpenMP	8 × 8	9 × 8	10 × 8	11 × 8	12 × 8	13 × 8	14 × 8	15 × 8	16 × 8
Время счета, с	382,8	354,2	326,2	302,2	290,7	274,5	271,0	260,8	255,4
Ускорение, разы	25,01	27,03	29,35	31,68	32,94	34,87	35,33	36,71	37,49
Эффективн., %	39,08	37,54	36,69	36,00	34,31	33,53	31,54	30,59	29,29

количестве компактов 32. Это объясняется тем, что начиная с 32 компактов самой дорогой в расчете становится приграничная параобласть.

Из графика зависимости эффективности от количества процессоров, приведенном на рис. 5, видно, что в режиме смешанного распараллеливания падение эффективности происходит нелинейно в отличие от чистого MPI-распараллеливания. В связи с этим в районе 64 процессоров по эффективности MPI-режим и смешанный режим практически сравниваются. Это обстоятельство было исследовано более подробно. Результаты замеров времени счета, ускорения и эффективности распараллеливания приведены в табл. 3 и 4 и в графическом виде на рис. 6. Из приведенных результатов видно, что при увеличении количества процессоров более 64 в режиме MPI-распараллеливания происходит только замедление (табл. 3), в то время как ускорение в смешанном режиме счета продолжает расти (табл. 4). В результате на 72 процессорах режимы счета практически сравниваются между собой, а на 80 и более процессорах режим счета MPI + OpenMP начинает опережать чистый MPI. Необходимо отметить, что по общей скорости работы смешанный режим на 88 и более процессорах работает быстрее, чем MPI-режим на любом количестве процессоров.

8. Тестовый расчет. Помимо тестовых расчетов, приведенных в предыдущем разделе, проводился тестовый расчет задачи о полете несферической оболочки. Данный тест предназначен для проверки правильности работы алгоритмов контактного взаимодействия при двумерном движении системы.

Начальная геометрия задачи представлена на рис. 7.

Начальная форма оболочки $R(t = 0, \theta) = 7 + 0,875 \cos^3 \theta - 0,525 \cos v$ см, толщина $\Delta R = 0,16$ см. Материал — свинец: $\rho(0) = 11,4 \frac{\text{г}}{\text{см}^3}$. В начальный момент времени оболочка имеет скорость к центру: $v = 5,70686 \times 10^6 \frac{\text{см}}{\text{с}}$.

Давление на наружной поверхности оболочки задается постоянным по времени: $P_E = 0$, тогда как давление на внутренней поверхности зависит от времени: $P_i = 3,495 \times 10^6 (V(t))^{-5/3}$ см³, где $V(t)$ —

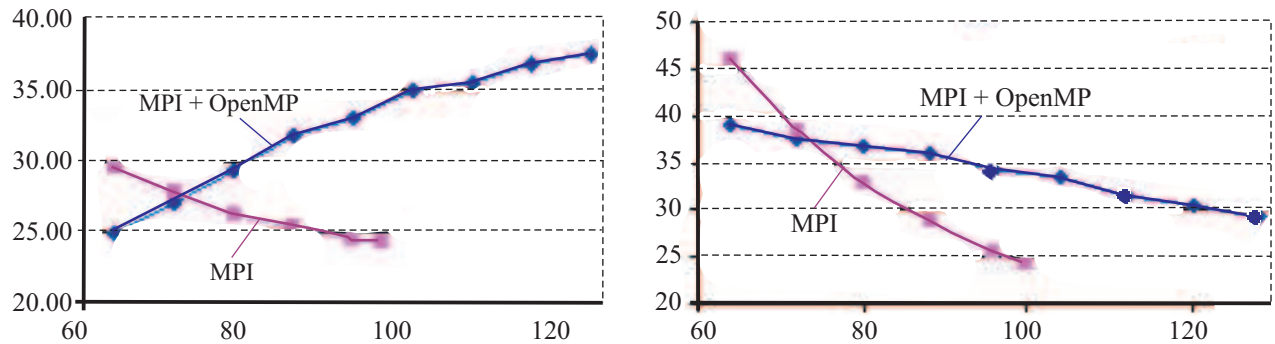


Рис. 6. Сравнение ускорения (слева) и эффективности (справа) в MPI и MPI + OpenMP распараллеливании при количестве процессоров более 60

объем внутренней части полости, меняющийся со временем на стадии полета.

Сетка сформирована из четырехугольников с четырьмя связями в узле. Количество ячеек 16800 (шесть областей с количеством точек по радиусу и углу 20×140 и одна область с количеством точек по радиусу и углу 120×140).

При проведении расчетов вдоль границ строился компакт шириной в две ячейки. В многообластном расчете каждая область разбивалась на четыре компакта, в однообластном — на шесть компактов. Расчеты этой серии проводились с использованием смешанного распараллеливания, т.е. дополнительно использовалось OpenMP-распараллеливание. Соответственно многообластной расчет проводился на 184 процессорах (24 MPI процессов \times 8 OpenMP нитей), а однообластной — на 48 процессорах (6 MPI процессов \times 8 OpenMP нитей).

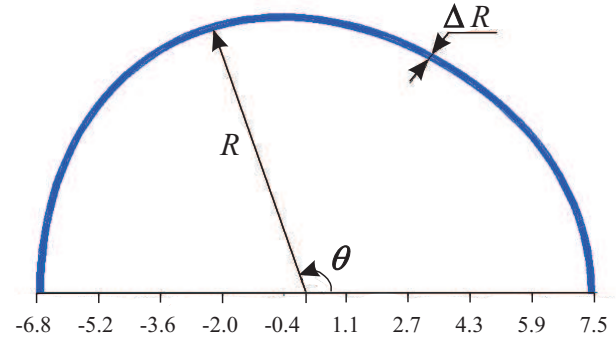


Рис. 7. Начальная геометрия задачи о полете несферической оболочки

однообластной — на 48 процессорах (6 MPI

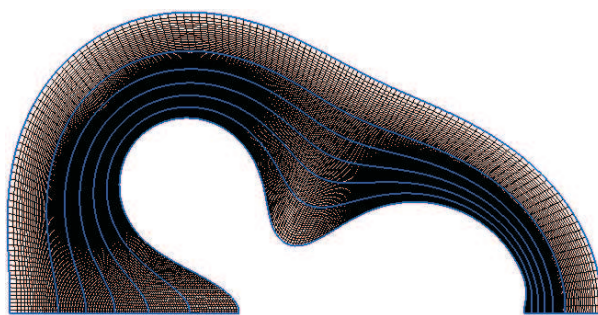


Рис. 8. Состояние счетной сетки и положение границ для задачи о полете несферической оболочки в многообластной постановке на момент времени $t = 0,11$ мкс с выделением контактных границ между областями

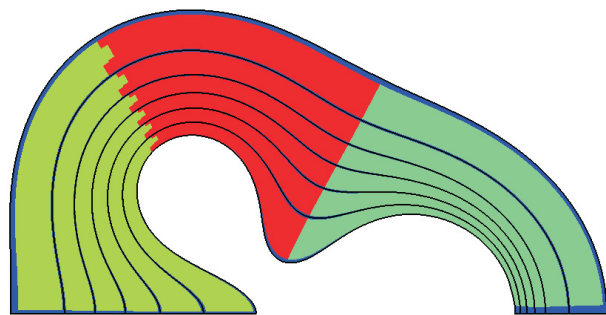


Рис. 9. Декомпозиция данных для задачи о полете несферической оболочки на момент времени $t = 0,11$ мкс

На этом тесте проверялась работоспособность общей схемы трехуровневого распараллеливания. В многообластном расчете варьировалось распределение управляющих функций для математических областей по разным процессам (при этом соответствующим образом изменялось и количество задействованных процессоров). Во всех параллельных расчетах получено полное совпадение результатов как между собой, так и с последовательным расчетом.

На рис. 8 показано состояние сетки и положение границ в многообластном расчете на момент времени 0,11 мкс. На рис. 9 приведена заливка по номеру компакта, когда каждая область разбивалась на четыре компакта. Поскольку математические области имеют подобные сетки, то и декомпозиция для них получилась одинаковая (для MeTiS использовались параметры по умолчанию). Формы параболистов, построенных из первой математической области, приведены на рис. 10. Результаты однообластного расчета

приведены на рис. 11. Вид декомпозиции для однообластного расчета представлен на рис. 12. На рис. 13 приведено сравнение формы оболочки для однообластного расчета в последовательном и параллельном режимах.

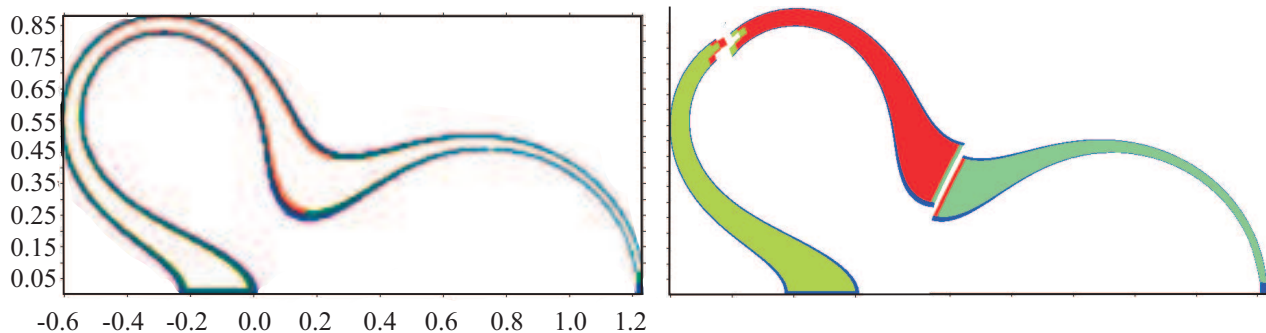


Рис. 10. Вид параобластей, построенных из первой математической области в шестиобластной задаче о полете несферической оболочки с заливкой по номеру компакта

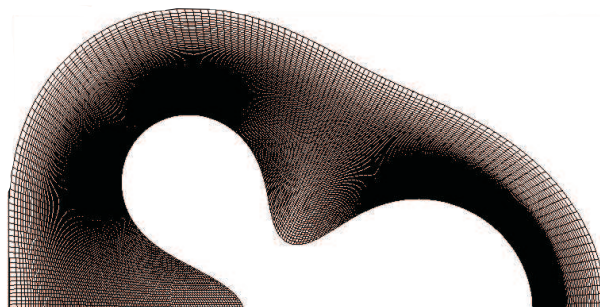


Рис. 11. Состояние счетной сетки задачи о полете несферической оболочки в однообластной постановке на момент времени $t = 0,11$ мкс

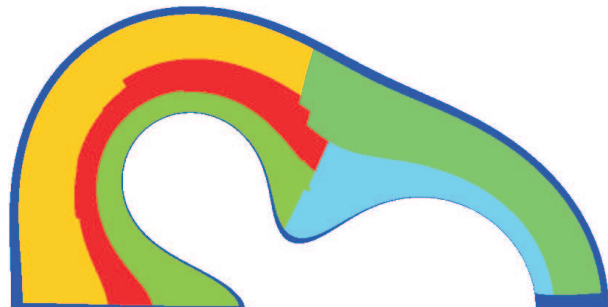


Рис. 12. Декомпозиция данных для задачи о полете несферической оболочки в однообластной постановке на момент времени $t = 0,11$ мкс

Как видно из рисунков, результаты расчетов хорошо согласуются между собой по форме внутренней оболочки как в многообластном, так и однообластном расчетах.

9. Заключение. Рассмотрены алгоритмы мелкозернистого распараллеливания в модели распределенной памяти с использованием интерфейса обмена сообщениями MPI в методике ТИМ-2D для расчета задач газовой динамики на нерегулярных многоугольных сетках. Мелкозернистое распараллеливание осуществляется внутри математической области на основе разбиения области на компакты.

Приводится ряд тестов, демонстрирующих правильность работы программ и алгоритмов. Для тестов использовались четырехугольные сетки с четырьмя связями в узле и многоугольные сетки с тремя связями в узле. На одной из тестовых задач приводятся замеры эффективности распараллеливания в различных режимах счета (MPI, OpenMP, MPI + OpenMP). Максимальное ускорение в 37,5 раз достигнуто в режиме смешанного распараллеливания MPI + OpenMP на 128 процессорах (эффективность около 30%). Приводится сравнение режимов между собой — на количестве процессоров более 64 смешанный режим распараллеливания оказывается более эффективным, чем MPI-режим.

Для дальнейшего развития необходимо реализовать алгоритмы с разбиением границ по нескольким компактам и реализовывать алгоритмы поддержания счетной сетки в режиме мелкозернистого распараллеливания.

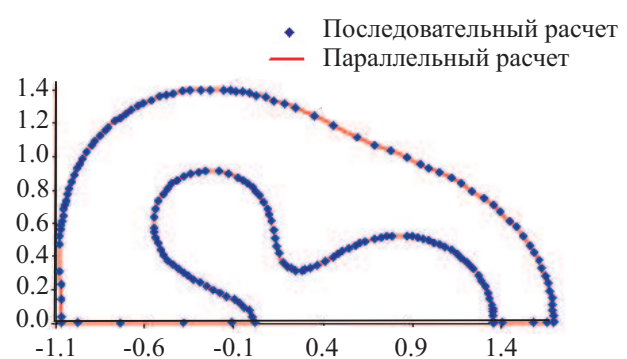


Рис. 13. Сравнение формы оболочки в последовательном и параллельном расчетах

СПИСОК ЛИТЕРАТУРЫ

1. Соколов С.С., Воропинов А.А., Новиков И.Г. и др. Методика ТИМ-2D для расчета задач механики сплошной среды на нерегулярных многоугольных сетках с произвольным количеством связей в узлах // Вопросы атомной науки и техники. Математическое моделирование физических процессов. 2006. Вып. 4. 29–43.
2. Воропинов А.А., Соколов С.С., Новиков И.Г. Распараллеливание в модели смешанной памяти для расчета задач газодинамики в методике “ТИМ-2D” // Параллельные вычислительные технологии (ПавТ’2008). Труды международной научной конференции (Санкт-Петербург, 28 января–1 февраля 2008 г.). Челябинск: Изд. ЮУрГУ, 2008. 69–79.
3. Воропинов А.А., Новиков И.Г., Соболев И.В., Соколов С.С. Распараллеливание методики “ТИМ” в модели общей памяти с использованием интерфейса OpenMP // Вычислительные методы и программирование. 2007. 8, № 1. 134–141.
4. Воропинов А.А., Соколов С.С., Новиков И.Г. Двухуровневое распараллеливание в модели смешанной памяти для расчета задач газодинамики в методике ТИМ-2D // Вопросы атомной науки и техники. Математическое моделирование физических процессов. 2008. Вып. 1. 51–59.
5. ParMETIS — Parallel Graph Partitioning and Fill-Reducing Matrix Ordering [Electronic resource]. Mode of access (<http://glaros.dtc.umn.edu/gkhome/metis/parmetis/overview>).
6. Воропинов А.А., Новиков И.Г., Соколов С.С. Расчет контактного взаимодействия между счетными областями в методике ТИМ-2D // Вопросы атомной науки и техники. Математическое моделирование физических процессов. 2008. Вып. 2. 5–20.

Поступила в редакцию
28.02.2009